研 宪

UDC 534.78

### 声道の形からのホルマント周波数の計算

(その1. 母音型の場合)

角川靖夫\*中田和男\*

# CALCULATION OF FORMANT FREQUENCIES FROM THE VOCAL TRACT CONFIGURATION

By

#### Yasuo KADOKAWA and Kazuo NAKATA

Two parameter systems describing a vocal tract configuration, namely, K.N. Steven's parabolic model and G. Fant's catenoidal model, are modified to get closer descriptions of Japanese vowel configuration drawn by Chiba and Kajiyama from X-ray photographs of the vocal tract configuration.

Two approaches are tried to calculate formant frequencies from a given vocal tract configuration. One is due to the sound-wave equation in a vocal tract, and the other is derived from the equivalent network analysis of the vocal tract.

The practical processes of these two methods of calculation are changed into the forms which take full advantage of computer calculation.

Fairly good coinsidences are obtained in the comparison of each of two formant frequencies derived from the same configuration but different in principles, and the effects are estimated of the change of each parameter on the calculated formant frequencies, and insights are obtained into the hierarchy among parameters.

Finally, the equi-frequency contours of each formant corresponding to a certain change of parameters are drawn for phonemic interests to get a rough image of formant frequency trajectory due to change in the vocal tract configuration.

#### 1. 緒 冒

音声の分析,識別の研究段階は次のように考えられる。

- (1)物理音響段階 (acoustical level)
- (2) 生理音響段階 (anatomical level)
- (3) 神経生理段階 (neurophysiological level)
- (4)音韻段階 (phonemic level)

(1)は発生された音声波をその物理音響的な特性によって分析、識別する段階で、たとえば短時間周波数スペクトル分析、零交叉波分析などが代表的なものである。(2)は発生された音声波を、そのときの声道の形(vocal tract configuration)を仲介として、調音パラメータ(発生のplace と manner を示すような解剖生理的なパラメータ)\*情報処理研究室

によって分析、識別する段階である。(3)は音声波を中枢神経系からの制御指令(motor command)による発声器管の運動の結果であると考え、発声運動(articulation)を仲介として直接その神経指令と音声との明確な対応を求める段階である。(4)は音韻的、言語的情報を用いて音声を音節、単語、文章などの単位で分析、識別してゆく段階である。

われわれはすでに Analysis-by-Synthesisの手法によって,日本語音声の短時間スペクトル(母音型の有声音の場合)を用いて物理音響的な段階での分析研究を行ない所期の成果を得た。 そこでさらに研究のレベルを一歩進めて生理音響段階での分析,識別の研究<sup>(3)</sup>を行なうことを計画した。

その一つとしてAnalysis-by-Synthesis の手法により、調音パラメータによる生理音響段階での分析の準備を進めた。その第一歩として母音型の場合について声道の形(vocal tract configuration) を記述するパラメータ・システムを検討し、次にその声道の形からホルマント周波数(声道の共振周波数に相当)を求める方法、その計算機による解法について検討し、声道内の音波の波動方程式の解による方法と声道特性の回路理論的な考察による方法の二通りについて検討を行なったのでその結果をここに報告する。

## 声道の形を記述するパラメータ システム

#### 2.1. 声道の形を記述するパラメータ・システム

Analysis-by-Synthesis の手法によって生理音響段階での音声の分析、識別を行なうためには、発声時の声道の形が知られなければならない。声道の形をその長さの方向に沿ってとった適当な標本点での横断面積(またはその等価半径)によってあらわすという一般的な方法では、各標本点における横断面積の値をすべて規定しなければならないので、整合のための制御の可能性があまりに多すぎて能率的で実際的な分析を行なうことができない。実際には発声器管の肉体的な構造に基づく制約(たとえば隣接する標本点での断面積を不連続に急変させることはできないことなど)からある基本的なパラメータ\*(舌の形と位置とか唇の開きなど)によって発声時の声道の形を近似的に簡単化して表現することが試みられている。

このようにいくつかの基本的なパラメータの関数として声道の形を記述し、合成やAnalysis-by-Synthesis の手法による分析における整合のための制御などの合理的な簡単化を計ろうとするのがパラメータ・システムである。すべての発声について真に適合するようなパラメータ・システムは発声器管の運動法則(たとえば舌の位置や形がエネルギー最小の原理にしたがって動いたり、変形したりするとか、最短距離をとって動くとか)とその拘束条件が知られない限り不可能であり、現在までのところこのような法則と拘束条件はじゅうぶん明らかになっていない。しかし近似的には声道の形のレントゲン撮影結果を基にして、特に母音型音韻について、舌区間(tongue section)をあらわす式が提案されており、そのき味で場本的というわけである。

代表的なものとして次の二つのものすなわち放物線型モデルと懸垂線型モデルがよく知られている。

#### (1) 放物線型モデル(4)

基本パラメータとして、声門から測った調音点の位置 $d_0$  (cm) 、調音点でのせばめの等価半径  $r_0$  (cm) 、唇の開口面積 A' (cm $^2$ ) と唇のまるめの区間 l' (cm) との比 A'/l' (cm) の三つを採用し、 声門からの距離 x (cm) の点での声道の等価半径を

$$r = a(R-r_0) (x-d_0)^2 + r_0, R \ge r_0$$
 (1)

なる放物線で近似する。MITでは声道のレントゲン撮影を基に声道型音声合成装置によって母音,有声子音について実験,研究しa=0.025,R=1.2(cm)なる値を用いている。ここではaはこの放物線の曲率を与え,Rは声道の最大半径を意味する。

#### (2) 懸垂線型モデル(5)

基本バラメータとして $d_0$ (cm),  $r_0$ (cm), A'(cm $^2$ ), l'(cm) なる四つをとり、声道の等価半径として

 $r=r_0 \; \cos h \; \left[ \left( \left. x - d_0 
ight) / h 
ight] \;\;\;\; h$ : 補助パラメータ $^{(2)}$ なる懸垂線で近似する。

#### 2.2. 日本語母音についての

パラメータ・システムの検討

これら二つのシステムの適否は声道の形の実測資料との比較によって判断しなければならない。日本語のレントゲン写真観測による声道の形としては千葉、梶山両氏による5母音の資料(6)しかわれわれの利用しうるものがなかったのでやむをえずこの5例について検討した。†

#### (1)放射線型モデル検討

MITのK. N. Stevens が与えた曲率 a=0.025 と R=1.2 (cm) の常数と、千葉、梶山両氏の実測例による声門から測った調音点の位置  $d_0$  (cm),調音点でのせばめの等価半径 $r_0$  (cm) の値を用いて求めた声道の形を第 1 図にに(鎖線)実測資料(太い実線)と比較して示す。これらの実例でみる限りこの常数は適合しない。そこで実測の形から最小 2 乗誤差法により最適となる a の値を求めてみると/i/で0.12,/e/で0.058,/a/で0.076,/o/で0.081,/u/で0.048となる。/u/は 実測資料かやわかるように特異な形をしているのでこれを除くと、残り 4 例の平 \*\* 調音機構をあらわす音声学用語の place of articulation.

- degree of opening, amount of lip rounding にそれぞれ相当している。
- \*\*\* 舌区間にくらべて、生理的な構造により、咽頭区間の等価半 径はほば 1.6cm一定とみなせる。
- † 日本は外国にくらべてこのような資料が極度に不足している。

均値は0.084, さらに/i/を除く3例の平均値は<math>0.072となり、この二つの平均値0.078をaの値として声道の形を求めてみると

$$r = 0.078 (1.2 - r_0) (x - d_0)^2 + r_0$$
 (3)

となり、第1図の点線で示すようになり、前の $\alpha=0.025$ よりはるかによい記述を与えることがわかった。

#### (2) 懸垂線型モデルの検討

(2)式では基本的な四つのパラメータ $d_0$ ,  $r_0$ , A', l'のほかにhが補助パラメータとして含まれるのでこの値をきめなければならない。前例のaのように常数として与えられれば簡単であるが、(2)式で $r_0$ =R=1.2(cm) のときは一様な音響管とならなければならないから(このときh→ $\infty$ )常数として与えることはできない。一つの考え方はhを四つの基本的なパラメータの関数としてあらわすような関係を探すことがある。 $r_0$ =R=1.2(cm) で一様な横断面積の音響管(uniform cyrindrical tube)すなわちh→ $\infty$ となる条件を満足する関数のうち最も簡単な1例として(4)式のような関係を仮定し、実測例から(2)式を仮定して最小自乗誤差法によって求めた最適のhの値から(4)式の $\delta$ の値を推定した。

その結果を第1表に示す。

$$h = (R - r_0)^{-\delta}$$
  $R = 1.2 \ge r_0$  (4)

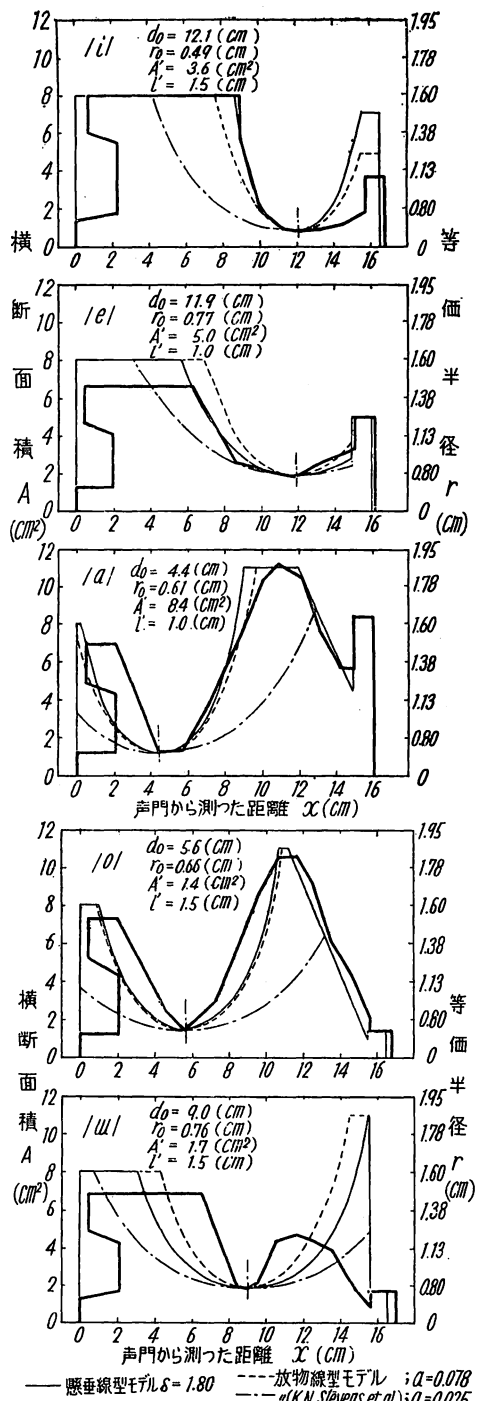
第1表 懸垂線型モデルの補助パラメータ んの検討

項目	$r_0$ (cm)	$d_{0}\left( \mathbf{cm}\right)$	最適 h	δ	$(h) \delta=1.80$
/i/	0.49	12. 1	2.00	2.07	1.86
/e/	0.77	11.9	4.32	1.74	4 .57
/ a /	0.61	4.4	2.72	1.43	2.54
/ o /	0.66	5.6	2.43	1.44	3.02
/ <b>u</b> /	0.76	9.0	1.62	0.60	4.31

/u /を除く 4 例の平均値  $\delta=1.80$ を用いて(4)式から求めた h の値を表の右端に、この h の値によって求めた声道の形を第 1 図に細い実線で示す。この結果からわかるように(前、中母音の)/i/、/e/、/a/に関しては(4)式で  $\delta=1.80$ とした。

 $r=r_0\cosh\left[(x-d_0)/(1.2-r_0)\,1.80\right]$  (5) なる r で比較的よい近似が得られるが、(後母音)/o/、/u/に対して近似が悪くなる。なお第 1 図の諸結果は舌区間以外についても適当な拘束条件を与え、基本パラメータによって計算機で求めた値である。

わずかの実測例についてではあるが、日本語5母音に



対して声道の形を記述する二つのモデルのパラメータ・システムについて検討し、一応日本語母音に適合しかつ Analysis-by-Synthesis による分析が可能になるように 調整を行なったがなお多くの問題が残った。すなわち(i)/u/のように他の母音にくらべて特異な形をしている 場合これをどう記述するか,(ii)声道の形の近似の度合(常

数 a や補助バラメータ h の値の変化)がその共振周波数ことに第 3 以上の高次ホルマントの周波数にどのように影響するか、(iii) 定常的な母音以外たとえば連続的に発声される半母音や子音のときは果してここで求めたような常数の値が適当であるか、(iV) 懸垂線型モデルの場合もっと合理的で適切な h の推定法はないか、(V) ここで検討した二つのモデル以上により合理的で実測資料をよく記述しうるモデルはないかなどの点である。これらについてはレントゲン撮影による声道の形の新しい実測資料が手に入り次第さらに検討、研究する予定である。

#### 3. ホルマント周波数の計算

物理的な量として観測される音声信号のうちで最も重要な情報要素はホルマント周波数であり、またAnalysis-by-Synthesisの手法によって生理音響段階での音声の分析、識別を行なうときに物理音響段階と生理音響段階の仲介の役を果すのもホルマント周波数である。このホルマント周波数は発声時の声道の形の共振周波数である。声道の形からホルマント周波数を求めるには種々の方法があるがここではまず声道内の音波の波動方程式の解による方法を、ついで声道の回路理論的考察結果による方法の二つについて検討し、特にその計算機による数値的な求め方を考察し、実際に計算した。

#### 3.1. **声遊内音波の波動方程式の解による方法** (1)声道内音波の波動方程式

一般に声道の等価半径は可聴音波領域の波長に比較して小さいので、声道内の音波は問題とする周波数領域 (3500%以下)では平面波と考えて差支えない。また母音型のみを対象とすれば鼻腔や気管の結合は無視できる。したがって声道の形からそのホルマント周波数を求めるには、原理的には適当な境界条件のもとで次の波動方程式 (Webster's horn equation)を解けばよい。(7)

$$A\frac{\partial}{\partial x} \left( \frac{1}{A} \frac{\partial U}{\partial x} \right) - \frac{1}{C^2} \left( \frac{\partial^2 U}{\partial t^2} \right) = 0$$
t は時間変数、  $x$  は空間変数 (6)

ここでU=(x,t) は声道内音波の体積流 $(cm^3/sec)$ , c は音速(cm/sec), t は時間(sec), A=A(x) は場所的に変化する声道の横断面積 $(cm^2)$ である。さらにU は正弦波(時間関数)とU(x)の積U=U(x,t)=U(x)  $e^{st}$   $s=\sigma+j\omega$  であらわせるから,(6)式には

$$A\frac{d}{dx}\left(\frac{1}{A}\frac{dU}{dx}\right) - \left(\frac{s}{c}\right)^2 \quad U = 0 \tag{7}$$

となる。声道の伝達関数Tは $T=U_n/U_o$ ( $U_o$ ,  $U_n$ は声門および唇における音波の体積流)であり,声道の共振状態では $T\to\infty$ なるから, $U_o=0$ ( $U_n$ は有限値と仮定)となる。また唇は空間の境界において放射特性をもつので、結局次式を解くことにより,声道の共振周波数が求まる。

$$\begin{cases} A\frac{d}{dx}\left(\frac{1}{A}\frac{dU}{dx}\right) - \left(\frac{s}{c}\right)^2 U = 0\,,\quad s = \sigma + j\omega \\ \\ U_0 = U\,(x=0) = 0 \cdot \cdots & \text{ 時門における共振のための 境界条件} \end{cases}$$
 (8) 
$$\frac{d\,U}{d\,x} + \left(\frac{s}{c}\right)^2 \left(\frac{m_{sr}}{\rho_{\,0}}\right) U = 0 \cdot \cdots & \text{ 唇における放射のた めの境界条件} \end{cases}$$

ここで $m_{sr}$ は唇の音響放射質量(gr),  $ho_0$ は空気の密度 $(gr/cm^3)$  である。

#### (2) 波動方程式の数値解法

A=A(x)すなわち場所 xの関数であり声道の形が一様でないので(8)式を直接解くことはできない。計算機で数値解を求めるには(8)式は双曲型偏微分方程式の形をしており、解の収斂性、計算所要時間などから考えて差分方程式に変換して解く方法が適している。声道の管内損失(粘性損失、摩擦損失を含む)はまだ定量的に完全には知られていないが、共振周波数のみを求めるには共振のQの値が大きい(損失が少ない)ので無視してよく、σ=0、s=jωとおくことができる。そうすると(8)式は次の差分方程式に変換される。

$$U_{n} = (eta + a_{n}) \ U_{n} - a_{n} U_{n+1}, \ s = j \omega$$
 (9 - 1)  $U_{0} = 0$  …… 声門での共振の境界条件 (9 - 2)  $U_{n} = \alpha U_{n}$  必必 を での放射の境界条件 (9 - 3)

$$\begin{array}{lll}
\mathcal{L} & \mathcal{L} & \mathcal{L} \\
\alpha & \equiv 1 - \left(\frac{2\pi}{c}\right)^2 \left(\frac{M}{\rho_0} - A_n\right) h^2 f^2 & A_n \equiv A_n / A_{n+1} \\
\beta & \equiv 1 - \left(\frac{2\pi}{c}\right)^2 h^2 f^2 & U_n \equiv U(x = nh) \\
0 & \leq n \leq N & A_n \equiv A(x = nh) \\
h & \equiv \ell i / N & Mar \equiv Mar A_n
\end{array}$$

h は差分方程式に変換するためにとった長さの微小きざみ幅、l<sub>t</sub>は声道の全長、Nは全区間数である。

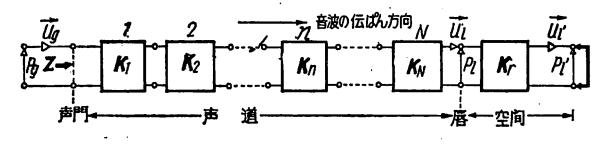
#### (3) 実際の計算法

一般には任意の周波数 f を与えて(9-1)式、(9-3)式を計算し、(9-2)式の境界条件を満足するまで f の値を更新して試行錯誤法的な繰返しによりホルマント周波数を求める。しかしこの方法は計算所要時間を非常に多く費すのであまり賢明な方法とはいえない。そこで f の変化にともなって U<sub>0</sub>=0の点を境として U<sub>0</sub>の符号が逆転する(他の点ではこのようなことは起らない)のに着目して、実際には次の探索歩幅漸減による計算方法を用いた。

(i) 周波数 f を20%から  $\Delta_1 f$ =100%間隔に計算して  $U_0$  の符号の逆転する個数 m とその点の周波数  $f_{11}, f_{12}, \dots, f_{1m}$ を調べる。 (ii)  $\Delta_2 f$ =20%間隔で  $f_{11}, f_{12}, \dots, f_{1m}$ で調べる。 (iii)  $\Delta_2 f$ =20%間隔で  $f_{11}, f_{12}, \dots, f_{1m}$ の近傍においてさらに符号が逆転する周波数  $f_{21}, f_{22}, \dots, f_{2m}$ を求める。 (iii) 同様にして  $\Delta_3 f$ =5%間隔でさらに細かく  $f_{21}, f_{22}, \dots, f_{2m}$ の近傍で  $f_{31}, f_{32}, \dots, f_{3m}$ を求める。以上の(i),(ii),(iii)により能率的に5%精度でホルマント周波数  $F_1, F_2, \dots, F_m$ が抽出できる。実際に用いた数値は m=3(第3ホルマント周波数まで), $U_n$ =1( $cm^2/sec$ ),h=0.5(cm), $l_1$ =16.0~17.0(cm),c=3.5×10(cm/sec), $\rho_0$ =1.21×10 s( $gr/cm^2$ ), $M_{sr}/h\rho_0$ =0.5( $gr/cm^2$ ) である。またきざみ h を小さくすることにより精度は高くなるが,第3ホルマント周波数までの範囲(3500%以下)では計算所要時間を考慮に入れると h=0.5(cm) が最適であった。

#### 3.2. 声道の形の回路理論的考察による方法

3.1. の波動方程式による解法ではUnを既知と仮定しないとホルマント周波数が求まらない。したがって母音型のように声道に分岐が存在しない場合にはよいが、鼻音のように鼻腔と口腔との結合によって分岐点がある場合、その点での体積流U(cm²/sec)の分流比が既知でないと共振周波数や反共振周波数を求めることはできない。そこで鼻音などの分析においては、声道の形それ自身の大きさと形のみからその共振(または反共振)周波数が求められることが望ましい。このような観点から声道の形の回路理論的考察によってホルマント周波数を求める方法を考察した。



第2図 音響管による声道の等価回路(母音型)

#### (1) 声道の周波数特性の行列表示

声道は近似的には横断面積の異った短かい音響管の縦 続接続で近似されるから音響4端子理論を用いて<sup>(8)</sup> 母 音型の場合第2図のような等価回路網に変換され、この 特性は次式であわらされる。ただし管内損失は前記の理 由により無視する。

 $P_s$ 、 $\vec{U}_s$ は声門における音圧(dyne/cm²) と体積流(cm²/sec),  $P_l$ ,  $\vec{U}_l$  は唇における音圧(dyne/cm²) と体積流(cm²/sec),  $P_l$ ,  $\vec{U}_l$  は唇から空間への放射特性を考慮に入れた場合の音圧(dyne/cm²) と体積流(cm²/sec) であり,他はすべて, 3.1 (2)と同様である。また音響放射特性による補償効果をあらわす長さ $h_r$ は一般には第1種のベッセル関数とストルウ関数であらわされるが, 問題とする周波数領域(3500%以下)ではその低抗分は無視できて $h_r=0.85$ 、 $\sqrt{A_n/\pi}$  となる。

## (2) 等価回路の数値解法

声道の伝達関数は $T=\overrightarrow{U_l}/\overrightarrow{U_l}$ で、その共振条件はT o $\infty$ となる。すなわち(10-1),(10-2),(10-4),の各式から

$$T = \frac{\overline{U_l}}{\overline{U_g}} = \frac{1}{CZ_r} + \overline{D} \frac{D_r}{CB_r + D\overline{D}_r} \frac{D_r}{D}, \tag{1}$$

共振条件は可聴周波数領域では $D_r$ は0でない有限値であるので $T 
ightarrow \infty$ からD' = 0となる。これは微少きざみ幅hで等分割した横断面積のそれぞれ異ったN個の単位区間の特性をあらわす複素行列 $K_n$ の積の計算に帰着し,声道内の音圧P(dyne/cui)や体積流U(cui/sec)の分布直接知

#### Vol. 10 No. 46 January 1964

られなくてもD'=0 からその共振周波数を解くことができる。(10-1)~(10-4)の各式のそれぞれの行列は2行2列の複素行列であるので一般の複素解釈サブルーチンを用いると計算所要時間が多くかかる。そこで実際にはこの計算のみに適用できる単能的なサブルーチンをつくり、これを用いて計算を行なった。

### 4. 声道の形のパラメータ・システムと そのホルマント周波数との対応関係の検討

Analysis-by-Synthesis の手法によって生理音響段階で音声の分析、識別の研究を行なうためにはここに用いた声道の形の基本パラメータによる記述が適切なものであるかどうか、またそれから計算されたホルマント周波数の関係が正しい対応関係を示しているかどうかが重要な問題になるのでその点について検討した。

#### 4.1. 検討すべき問題点

検討すべき問題点として考えたのは次の諸点である。

(1)一次パラメータ(制御パラメータ)として声門から 測った調音点の位置 $d_0$ (cm),調音点でのせばめの等価半 径 $r_0$ (cm),唇の開口面積A'(cm $^{\prime}$ )とそのまるめの区間l'(cm) またはその比A'/l'(cm) が採用できるか。

(2)曲率常数 a の変化の影響はどのくらいか。

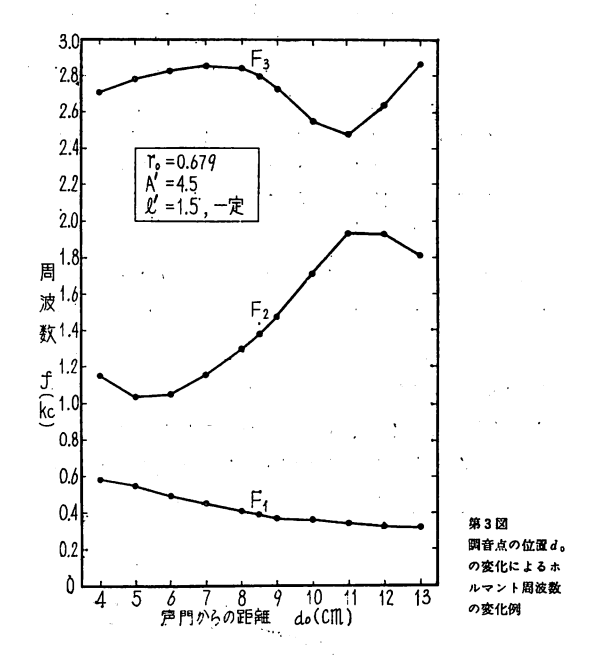
(3)声門近傍の咽頭部分の近似的記述の影響はどのくらいか。

(4)波動方程式と回路理論的解析によって計算されたホルマント周波数の値は互にどの程度近似し、またそれらは実測値と比較して適正か。

#### 4.2. 問題点の検討結果

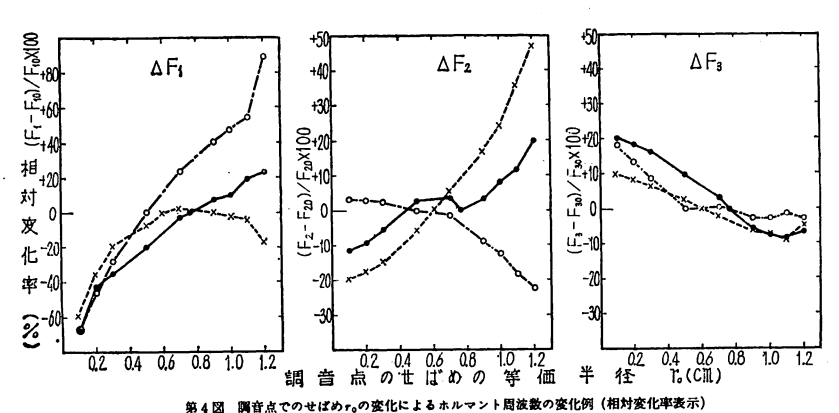
声道の舌区間の形をあらわすパラメータ・システムとして放物線型と懸垂線型の二つのモデルを検討したが、両者の近似の度合は第1図からわかるように同程度であるので、計算所要時間を考慮に入れて、すべて(7)式の放物線型モデルを用いた。声道全体の形は舌区間の放物線型モデルと、唇の区間や声門近傍の咽頭区間の生理的な構造による近似的な記述とによってあらわされる。基本パラメータの変化域は日本語母音についてはいままでのところほとんど知られていないので、英語についての普通の成人男性による値 $d_0=4\sim13$  (cm)、 $r_0=0.3\sim1.2$  (cm)、R=1.2 (cm)、 $A'/l'=0.1\sim20$  (cm) を用い、この範囲で検討した。

(1) 基本バラメータの変化によるホルマント周波数 の変化例 (i)  $d_0$ による変化例 他のパラメータA'/l'、 $r_0$ , a=0.078 を一定にして $d_0$ のみを  $4\sim13$  (cm) の範囲で変えたときの 1 例を第 3 図に示す。これから一般的にいって削→中→後母音変化とそれに対応したホルマント周波数の関係を定性的によく説明することができる。また第 3 ホルマント周波数 $F_3$ は $F_1$ ,  $F_2$ にくらべて変化が小さいが,前母音i/, i/e/の $F_2$ は後腔(back cavity)の約半数波長共振に近くなり $F_2$ と $F_3$ が接近してくる。



(ii)  $r_0$ による変化例 千葉、梶山両氏の実測資料の /i/, /a/, /u/ を代表例にとり、 $r_0$ のみを変えたときのホルマント周波数の変化例を第4図に示す。前母音/i/ の  $F_1$ は $d_0$ が一定であるとき $r_0$ によってほとんど確定するので一番変化が大きく、後腔の体積が増えると大きな値となる。また/u/の $F_1$ の変化は/i/ほどではないが/a/より大きい。

/w/,/a/の $F_2$ は後腔よりも前腔(front cavity)に若干多く影響され $r_0$ が大きくなるにしたがい高くなるが、/iについては口腔(oral cavity)のせばめによって低くなる。 $F_3$ については/i/,/a/,/w/ともせばめの前の部分に関係するので $r_0$ が大きくなると一般に低くなる。 $r_0$ の変化が $0.15\sim1.2$ (cm)の範囲にわたると各ホルマント周波数は大きく変化し、相対変化率で $F_1$ については $-60\sim+80\%$ ,  $F_2$ については $-20\sim+50\%$ ,  $F_3$ については $-10\sim+20\%$ と相当に変化する。

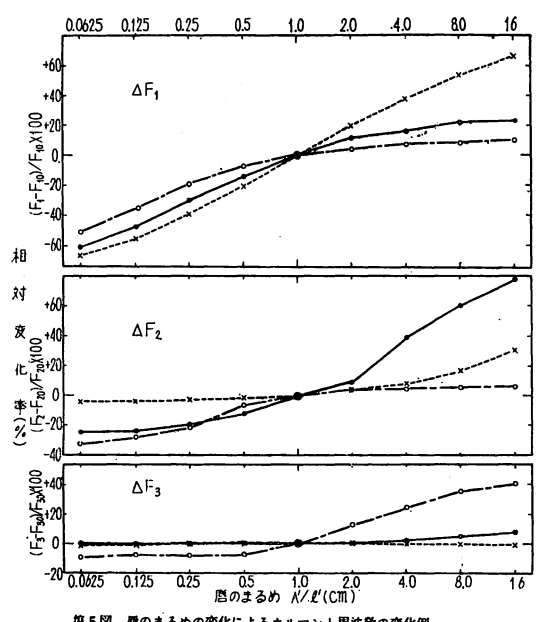


 $d_0$  A' l'  $F_{10}$   $F_{20}$   $F_{50}$  $\bullet - \bullet / u_l /$  9.0 1.7 1.5 355 1160 2650

×···×/ a / 4.5 8.4 1.0 675 1150 2905 ○···○/ i / 12.0 3.6 1.5 270 1990 2695

 $d_0$ , A', l', a = 0.078 —  $\Xi$ 

(iii) A'/l'による変化例 これは唇のまるめによる 影響をあらわすもので/i/,/a/,/u/ の代表例について 第5図に示す。A'/l'は音響インピーダンス(単位はacoustic ohm) に逆比例するので、唇から空間への音響輻射 特性を考慮に入れると、A'/l' が増えるとすべてのホル マント周波数を高くし、その相対変化率は低次のホルマ



第5図 唇のまるめの変化によるホルマント周波鼓の変化例 (相対変化率表示)

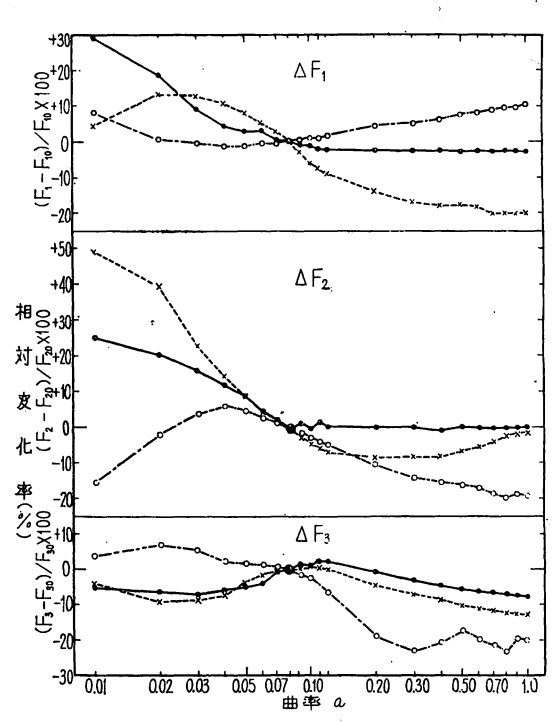
F<sub>0</sub> d<sub>0</sub> l' F<sub>10</sub> F<sub>20</sub>  $\bullet - \bullet / u / 0.756$  9.0 1.5 355 1160  $\times \cdots \times / a / 0.605$  4.5 1.0 675 1150  $\circ \cdots \circ / i / 0.442$  12.0 1.5 270 1490  $r_0, d_0, l' a = 0.078$  一定

ント周波数ほど大きく,全体の変化範囲は-60~+60%にも達する。

(2) 舌区間の曲率 a の変化に よるホルマント周波数の影 響

放物線モデルでは曲率 a を常数としており、検討結果から a = 0.078 なる値が求まったが、MITでは a = 0.025 を採用している。そこでこの曲率(常数)

aによってホルマント周波数がどのくらい影響されるかが問題となる。われわれは  $a=0.01\sim1.0$  の範囲で前と同様/i/, /a/, /u/の代表的な母音を用いて検討した。その結果を第6図に示す。この冥験における限り  $a=0.05\sim0.12$ の範囲ではすべてのホルマント周波数の変化が±10%以内に入るが、a=0.025 の近傍ではaの変化によるホルマント周波数の変化が対きいの、 $F_2$ の変化が大きいの



第6図 曲率常数 a の変化によるホルマント周波数の変化例 (相対変化率表示)

A' l' F10 F20  $d_0$  $r_0$ 355 1160  $\bullet - \bullet / \mathbf{u} / 0.756$ 9.0 1.7 1.5  $\times \cdots \times / a / 0.605$ 1.0 675 1150 4.5 8.4 1990  $\circ \cdots \circ / i / 0.492 12.6$ 3.6 1.5 270

はせばめの前後の声道の体積によって強く影響を受けることによると考えられる。

## (3) 声門近傍の咽頭区間の近似的記述によるホルマント周波数の変化例

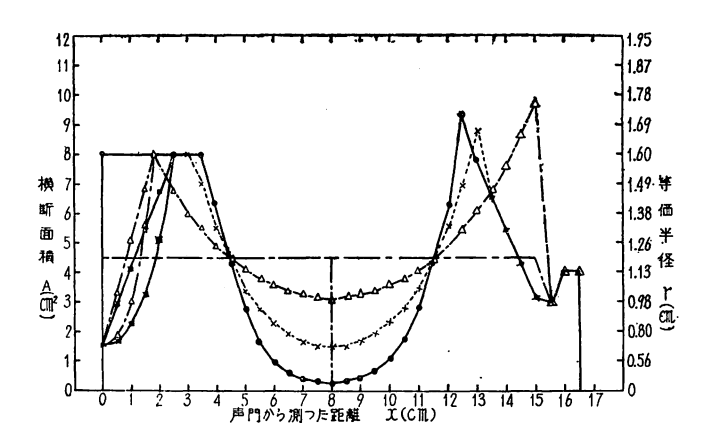
厳密には声門近傍の咽頭区間の断面積は一定 ではなく、また第1図からわかるように、気管 と咽頭部は後喉頭部で分岐し音韻により若干変 化する。その影響をより詳細に調べるにはレン トゲン写真観測による多数の実測資料を必要と し、また計算機で声道の形を求めるには多価関 数となるので相当面倒になる。そこでここでは 計算を単純にするため近似的な記述を用いた。 等価半径が放物線的に変わる場合、横断面積が 直線的に変化する場合、全然変化しない場合の 三通りについていくつかの代表例をとり比較し た。中母音の場合にホルマント周波数のずれが 最も大きくその結果を第7図に示す。この結果 によると咽頭部分の横断面積が小さくなるとす べてのホルマント周波数が高い方へ移動する。 これは声道の形が後端で小さくなったためであ ると考えられる。三通りのうちでいずれがより 正確な咽頭部をあらわす記述であるかは推定す ることはむずかしいが、G. Fant の実測資料に よる精確な研究によると問題とする周波数領域(3500% 以下)ではこの影響はいずれも小さい(5)

## (4) 波動する方程式の解と回路理論的解析の結果 によるホルマント周波数の比較

第1図の声道の形による声道内の体積流についての波動方程式の解と、回路理論的解析結果によって求めた日本語5母音のホルマント周波数を実測資料<sup>(6)</sup>と比較して第2表に示す。これから、二通りの方法によって求めたホルマント周波数と実測資料によるそれらとがかなりよく一致し、声道の形を記述するパラメータ・システムが少なくとも母音の場合には適切であったことがわかる。なお波動方程式の解と回路理論的解析でとくにF<sub>3</sub>が若干異っているのは、唇からの音響放射特性がかなり複雑な関数形であるのでその近似表現に起因しているものと考えられる。

#### 4.3. ホルマント周波数の等高線図

実際の母音型音声の声道の形はその生理的拘束条件によりある制限範囲が存在するが、それでも $d_0=4\sim13$  (cm),  $r_0=0.3\sim1.2$  (cm),  $A'/l'=0.1\sim20$  (cm) の範囲に変化



第7図 声門近傍の咽頭区間の近似によるホルマント周波敏の変化例 (中田音)

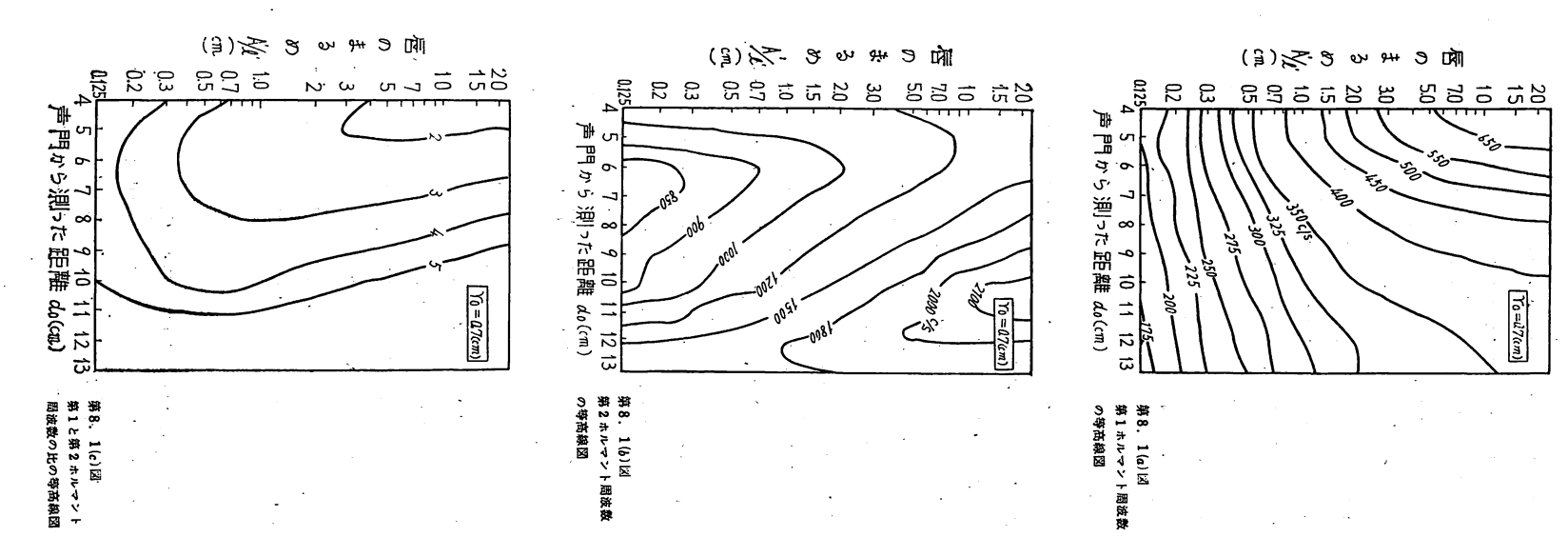
 $d_0 = 8 \text{ cm}$ , A' = 4 cm, 2 l' = 1 cm 一定 cm cm

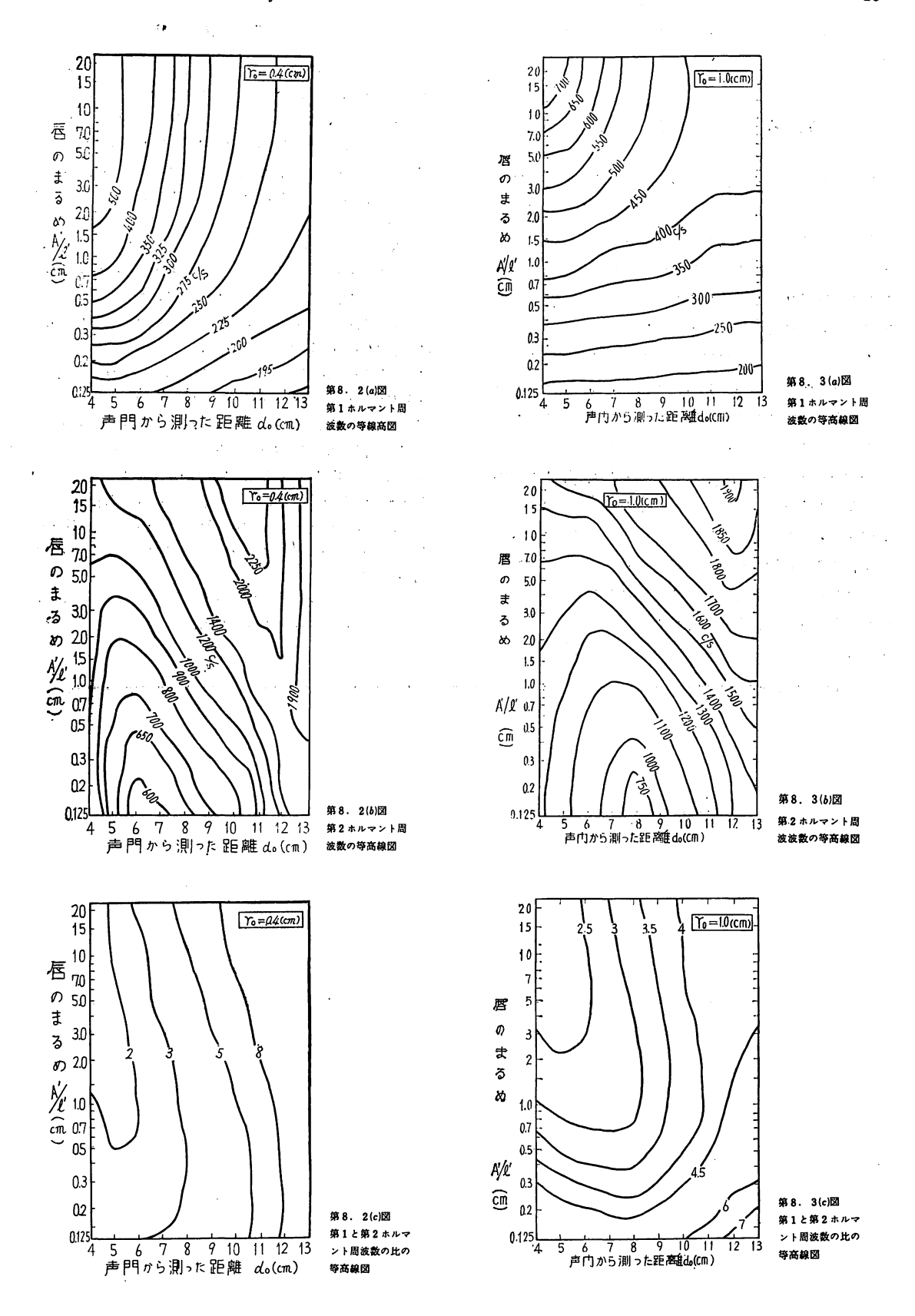
するので各調音パラメータの変化による $F_1$ ,  $F_2$ ,  $F_3$  の大略とその変化の傾向を知ることがAnalysis-by-Synthesis の手法を適用する際の整合のための各パラメータの制御順位を決めるために必要である。また各声道の形に応じてそのホルマント周波数の大略を知ることは音声学的にも興味あることである。そこで計算によって上記のすべての変化範囲にわたって $F_1$ ,  $F_2$ ,  $F_3$  を求めたが,実測資料の母音の値に近い $r_0=0.7$  (cm) の場合とせばめの小さい $r_0=0.4$  (cm) の場合および大きい $r_0=1.0$  (cm) の場合の例を第8.1 図,第8.2 図,第8.3 図に示す。

計算したすべての等高線図から一般的には次のことがいえる。第1ホルマント周波数 $F_1$ については $d_0$ が小でA'/l'が大(unrounded)で高くなり、A'/l'が小(rounded)で低くなる。また $d_0$ が極端に唇に接近しても低くなる。 $F_2$ については $d_0$ が大、A'/l'が大で高くなり、 $d_0$ が大、 $r_0$ が小で顕著に高くなる。 $F_3$ については、 $d_0$ が大A'/l'が大、(ただしl'が小)のとき少しずつ高くなる。これらの結果はMITの声道型音声合成装置による同じような等高線図と同傾向を示すが、 $F_1$ 、 $F_2$ の値が若干低目になってい

第2表 日本語5母音の計算値と実測値によるホルマント周波数の比較

母音	基本パラメータ			l , (cm)	実測されたホルマント周波数		計算されたホルマント周波数(%)							
	番 平 ハ ノ メ ー タ						波動方程式			回路理論的解析				
	$r_0$ (cm)	$d_{0}\left( \mathbf{cm}\right)$	A' (cm²)	l'(cm)	]	F <sub>1</sub>	F <sub>2</sub>	$F_3$	$F_1$	F <sub>2</sub>	$F_3$	$F_1$	$F_2$	$F_{\mathfrak{s}}$
/i/	0.492	12.0	3.6	1.5	17. 0	280		2800	270	1990	2695	265	1980	2595
/e/	0.770	12.0	5.0	1.0	16.0	500	2000		365	1940	2865	360	1930	2805
/a/	0.605	4. 5	8. 4	1.0	16.0	800	1200		675	1150	2905	675	1140	2925
/0/	0.660	5. 5	1.4	1.5	17.0	500	1000		410	900	2835	400	900	2850
/w/	0.756	9. 0	1.7	1.5	17. 0	400	1200		355	1160	2610	350	1130	2545





る。\*パラメータのうちでA'/l', do, doの順にホルマント 周波数の変化の度合が大きくなる。

#### 5. 結 曾

Analysis-by-Synthesis の手法による生理音響段階での音声の分析、識別の研究の準備として、日本語母音に適合する声道の形を記述するパラメータ・システムを求め、次に声道内の音波の波動方程式の解および声道の回路理論的解析結果を用いてそのホルマント周波数を求め、実測資料と比較してかなりよい近似値を得た。発声時の声道のレントゲン写真観測の実測資料を手に入れ次第さらに詳細な解析を行なうとともに、引続き一般の子音および鼻音についても声道の形からのホルマント周波数の計算についての検討を行なっている。今後の問題としてはAnalysis-by-Synthesis の手法を実際の生理音響段階での音声の分析、識別に適用し、従来の物理音響段階および音声学的な結果と比較、検討してゆく予定である。

最後に常に御指導をいただいている上田所長、河野次 長、尾方室長に感謝し、また共同で研究をすすめている 鈴木技官の協力に謝意を表します。

\*曲率常数αの違いによるものではないかと考えられる。

#### 参 照 文 献

- (1) K.N. Stevens; "Toward a Model for Speech Recognition," JASA., 32, No.1 (Jan., 1960).
- (2) 角川, 中田; "「合成による分析法」によるホルマント周波数の抽出"、電波研季報、9, No. 43 (1963.7).
- (3) J.M. Heinz; "An Analysis of Speech Spectra in Term of a Model of Articulation", Speech Communication Seminar, Stockholm (1962).
- (4) K.N. Stevens and A.S. House; "Development of a Quantitative Description of Vowel Articulation," JASA., 27, No. 3 (May, 1955).
- (5) G. Fant; "Acoustic Theory of Speech Production," Mouton & Co., s'-Gravenhage (1960).
- (6) Chiba and Kajiyama; "The Vowel-Its Nature and Structure", Tokyo-Kaiseikan (1941).
- (7) E.S. Weibel; "On Webster's Horn Equation," JASA, 27, No. 4 (July, 1955).
- (8) E. S. Weibel; Nowel Synthesis by means of Resonant Circuits, JASA., 27, No. 5 (Sept., 1955).
- (9) J. L. Flanagan; "Analog Measurements of Sound Radiation from the Mouth", JASA., 32, No. 12 (Dec., 1960)
- (10) P.M. Morse; "Vibration and Sound," Second Edition, McGraw-Hill (1948).